

УДК 681.128

Об измерении расхода жидкого металла, плохо смачивающих стенку расходомера

Логинов Н. И.

Известны три основных типа кондукционных электромагнитных расходомеров, применяемых в установках с жидкостно-металлическими теплоносителями: расходомеры с электродами, приваренными к наружной поверхности стенки трубопровода; расходомеры с электродами, введенными в поток теплоносителя и изолированными от стенки трубопровода, и расходомеры с трубчатыми электродами. Одним из недостатков всех этих расходомеров является зависимость их показаний от контактного сопротивления между измеряемой жидкостью и стенкой расходомера.

В соответствии с теорией электромагнитных расходомеров [1, 2] зависимость выходного напряжения расходомера от скорости измеряемой среды выражается следующими формулами: для расходомеров с приваренными к стенке электродами

$$U_c = 2B\bar{W}r_b \frac{K_1 K_2 2r_b/r_h}{1 + r_b^2/r_h^2 + (R_k/\rho_c r_b + \rho_{jk}/\rho_c)(1 - r_b^2/r_h^2)}, \quad (1)$$

для расходомеров с введенными в жидкость электродами

$$U_{jk} = 2B\bar{W}r_b \times \frac{1 + r_b^2/r_h^2 + (R_k/\rho_c r_b)(1 - r_b^2/r_h^2)}{1 + r_b^2/r_h^2 + (R_k/\rho_c r_b + \rho_{jk}/\rho_c)(1 - r_b^2/r_h^2)} K_1 K_2. \quad (2)$$

Здесь U_c и U_{jk} — напряжение на электродах, приваренных к стенке и введенных в жидкость соответственно; B — магнитная индукция в зазоре; \bar{W} — средняя по сечению расходомера скорость измеряемой жидкости; r_b , r_h — внутренний и наружный радиусы трубы расходомера; ρ_{jk} , ρ_c — удельное сопротивление жидкости и стенки; R_k — контактное сопротивление между жидкостью и стенкой расходомера; K_1 — коэффициент, учитывающий влияние температуры на магнитные свойства материалов и на размеры магнитной системы, приводящие к изменению индукции в зазоре; K_2 — коэффициент, учитывающий ограниченность магнитной системы вдоль направления потока жидкости (концевые эффекты).

Для расходомеров с трубчатыми электродами нет формулы для выходного напряжения, аналогичной (1) и (2).

Из формулы следует, что выходное напряжение расходомеров зависит не только от скорости измеряемой среды, но и от контактного сопротивления. Контактное сопротивление зависит, в свою очередь, от содержания примесей в измеряемой жидкости, от ее температуры и давления, от чистоты и характера обработки стенки, от ее материала и т. п. Это приводит к сильной нестабильности показаний расходомеров при работе с некоторыми жидкими металлами. На рис. 1 представлена зависимость U_c и U_{jk} от контактного сопротивления, откуда следует, что его влияние на выходное напряжение расходомеров первого и второго типа различно. Если напряжение на стенке расходомера падает практически до нуля по мере роста контактного сопротивления, то напряжение в жидкости возрастает. Это вполне естественно, так как бесконечно большое контактное сопротивление соответствует расходомеру с непроводящими стенками. Контактное сопротивление между жидкостью и электродами, введенными в поток и изолированными от стенки, не влияет на показания расходомера, так как в момент измерения ток в цепи электродов равен нулю. То же самое будет и при использовании высококоомных измерительных приборов, так как

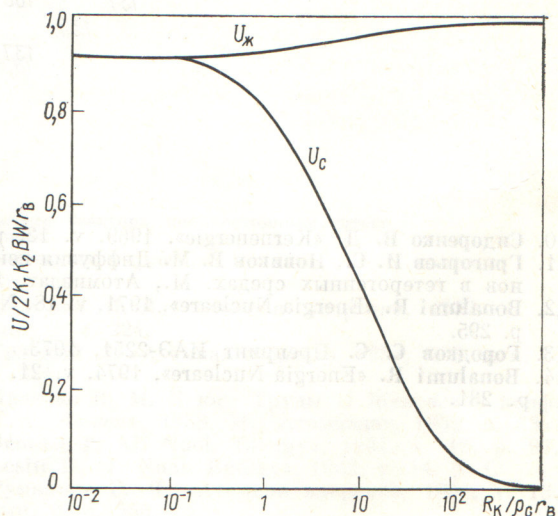


Рис. 1. Зависимость выходного напряжения расходомера от контактного сопротивления

сопротивление контакта жидкости с электродом составляет не более нескольких Ом.

Как следует из рис. 1, расходомеры с приваренными к стенке электродами очень чувствительны к контактному сопротивлению и поэтому практически непригодны для измерения расхода жидким металлов, плохо смачивающих стенку или загрязненных примесями. Расходомеры с введенными в поток электродами более пригодны в этих случаях, однако конструкция таких электродов обладает не очень высокой надежностью. Поэтому такие расходомеры используются главным образом в лабораторных условиях. В связи с этим и появились расходомеры с трубчатыми электродами. Их особенностью (рис. 2) является то, что его выходное напряжение определяется напряжением в жидкости и напряжением на стенке. Следовательно, зависимость выходного напряжения от контактного сопротивления должна занимать некоторое промежуточное положение между кривыми (см. рис. 1).

Эти расходомеры используются на практике и действительно подвержены в меньшей степени влиянию контактного сопротивления по сравнению с расходомерами первого типа, но это влияние все еще довольно сильное.

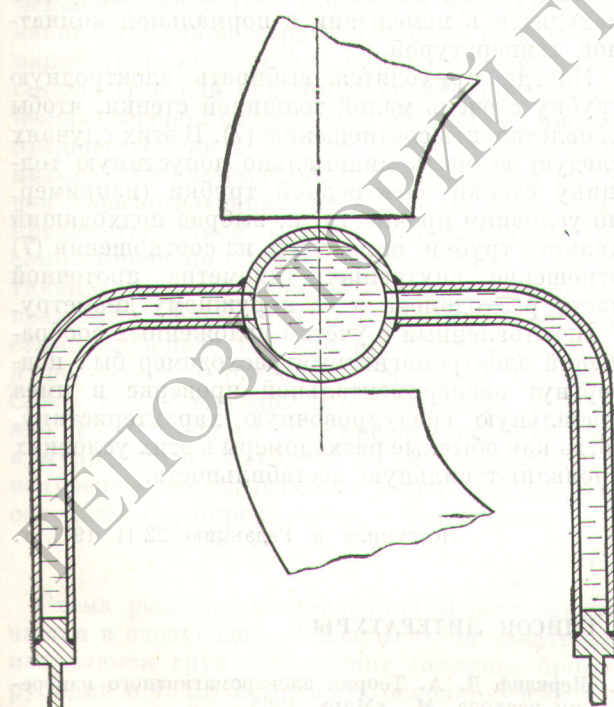


Рис. 2. Схематическое устройство расходомера с трубчатыми электродами

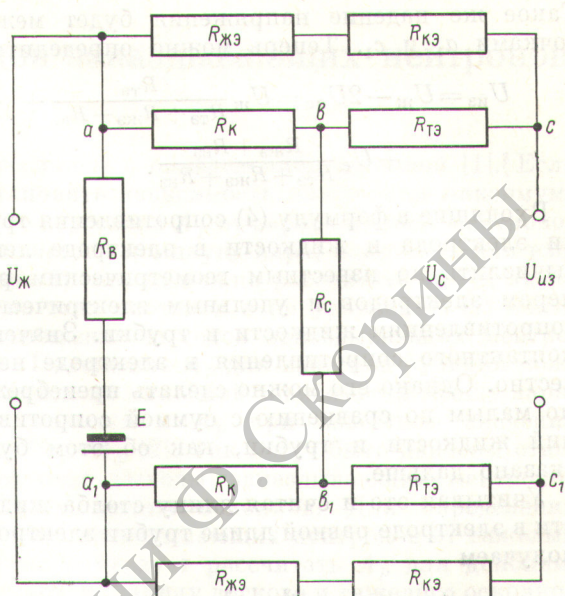


Рис. 3. Эквивалентная схема расходомера:

E — ЭДС, индуцируемая в жидкости; R_B — внутреннее сопротивление источника ЭДС, т. е. сопротивление жидкого металла в расходомере; R_K — контактное сопротивление между жидкостью и стенкой; R_C — сопротивление стенки расходомера; R_{TE} — сопротивление трубы электрода; R_{JE} — сопротивление жидкости в электроде; R_{KE} — контактное сопротивление между жидкостью и заглушкой электрода; U_{JK} — напряжение, развиваемое в жидкости (2); U_C — напряжение на стенке расходомера (1); U_{iz} — напряжение на концах трубчатых электродов, измеряемое вторичным прибором

Цель настоящей работы состоит в том, чтобы определить условия, при которых влияние контактного сопротивления на показания расходомера с трубчатыми электродами было минимальным или отсутствовало бы вообще.

Так как аналитическое выражение для выходного сигнала расходомера с трубчатыми электродами неизвестно, рассмотрим эквивалентную электрическую схему такого расходомера, представленную на рис. 3.

Данная эквивалентная схема, однако, является лишь некоторым приближением к действительности, и полученные результаты нуждаются в проверке.

Из схемы следует, что падение напряжения между точками a и b равно

$$U_{a, b} = U_{a, b} = (U_{JK} - U_C). \quad (3)$$

Ток в цепи abc $I = U_{a, b}/(R_{KE} + R_{TE} + R_{JE})$. Следовательно, падение напряжения между точками a и c равно

$$\begin{aligned} U_{ac} &= I(R_{JE} + R_{KE}) = \\ &= U_{ab}(R_{JE} + R_{KE})/(R_{JE} + R_{TE} + R_{KE}). \end{aligned}$$

Такое же падение напряжения будет между точками a_1 и c_1 . Теперь можно определить

$$U_{\text{из}} = U_{jk} - 2U_{ac} = U_{jk} \frac{R_{te}}{R_{te} + R_{jk} + R_{ko}} + \\ + U_c \frac{R_{jk} + R_{ko}}{R_{te} + R_{jk} + R_{ko}}. \quad (4)$$

Входящие в формулу (4) сопротивления трубы электрода и жидкости в электроде легко вычислить по известным геометрическим размерам электродов и удельным электрическим сопротивлениям жидкости и трубы. Значение контактного сопротивления в электроде неизвестно. Однако его можно сделать пренебрежимо малым по сравнению с суммой сопротивлений жидкости и трубы, как об этом будет сказано дальше.

Учитывая это и считая длину столба жидкости в электроде равной длине трубы электрода, получаем

$$U_{\text{из}} = U_{jk} / \left(1 + \frac{\rho_{jk}}{\rho_{te}} - \frac{r_{jk}^2 - r_{ko}^2}{r_{jk}^2 r_{ko}^2} \right) + U_c / \left(1 + \frac{\rho_{te}}{\rho_{jk}} \times \right. \\ \left. \times \frac{r_{ko}^2}{r_{jk}^2 r_{ko}^2} \right). \quad (5)$$

Здесь r_{jk} и r_{ko} — наружный и внутренний радиусы электродной трубы; ρ_{te} — удельное сопротивление материала электродной трубы; U_{jk} и U_c — определяются формулами (1) и (2). Из формулы (4) следует, что, изменяя размеры электродной трубы и ее материал, можно в какой-то степени изменять зависимость измеряемого напряжения от контактного сопротивления между жидкостью и стенкой расходомера. Попытаемся выбрать размеры электродов так, чтобы измеряемое напряжение не зависело от контактного сопротивления. В этом случае

$$\frac{\partial U_{\text{из}}}{\partial (R_{jk}/\rho_{jk} r_{jk})} = 0. \quad (6)$$

Проведя дифференцирование формул (1) и (2) и выполнив соответствующие алгебраические преобразования, получаем, что условие (6) выполняется, если

$$\frac{r_{jk}^2}{r_{ko}^2} = 1 + \frac{\rho_{te}}{\rho_c} \frac{1 - r_{jk}^2/r_{ko}^2}{2r_{jk}/r_{ko}}. \quad (7)$$

Следовательно, если выбрать отношение внутреннего и наружного радиусов электродной трубы в соответствии с соотношением (7), то выходное напряжение расходомера с трубчатыми электродами не будет зависеть от контактного сопротивления между жидкостью и стенкой расходомера. Если электродные трубы

выполнены из того же материала, что и стенка корпуса расходомера, то формула (7) несколько упростится, а измеряемое напряжение расходомера, у которого размеры электродов выбраны в соответствии с этой формулой, определится следующим образом:

$$U_{\text{из}} = 2\bar{W}r_{jk} \frac{2r_{jk}/r_{ko}}{2r_{jk}/r_{ko} + \rho_{jk}(1 - r_{jk}^2/r_{ko}^2)/\rho_c} K_1 K_2. \quad (8)$$

Это выражение получено из формул (5) и (7).

Для того чтобы сделать пренебрежимо малым контактное сопротивление между жидкостью и заглушкой электрода, достаточно покрыть ее поверхность припоем, растворяющимся в измеряемом жидким металле. Во многих практических случаях для этой цели подходят серебряные припои. Для сохранения припоя на поверхности контакта концы электродов охлаждаются до температуры ниже точки замерзания жидкого металла и поддерживаются в этом состоянии во время работы расходомера. Сделать это нетрудно, так как измеряемый жидкий металл в электродной трубке неподвижен и на охлаждение его не требуется теплообменник большой мощности. Во многих случаях достаточно естественного охлаждения, если концы электродов находятся в помещении с нормальной комнатной температурой.

Иногда приходится выбирать электродную трубку с очень малой толщиной стенки, чтобы удовлетворить соотношению (7). В этих случаях следует выбрать минимально допустимую толщину стенки электродной трубы (например, по условиям прочности) и, выбрав подходящий диаметр трубы, определить из соотношения (7) отношение внутреннего диаметра проточной части расходомера к ее наружному диаметру.

Изготовленный с учетом изложенных соображений электромагнитный расходомер был подвергнут экспериментальной проверке и имел стабильную градуировочную характеристику, тогда как обычные расходомеры в этих условиях проявляют сильную нестабильность.

Поступила в Редакцию 22/II 1977 г.

СПИСОК ЛИТЕРАТУРЫ

- Шерклиф Д. А. Теория электромагнитного измерения расхода. М., «Мир», 1965.
- Гущин Г. И., Логинов Н. И. В кн.: Вопросы магнитной гидродинамики. Вып. 3. Рига, «Зинатне», 1963.